

2-Hydroxyethyl methacrylate와  
N-(2-hydroxyethyl)methacryl amide의 공중합

鄭 漢 謨 · 尹 龜 植  
化 學 科  
(1981. 12. 30 접수)

〈要 約〉

2-Hydroxyethyl methacrylate (HEMA)와 N-(2-hydroxyethyl)methacryl amide (HEMAA)를 60.1°C에서 그重合시켜 單量體의 反應性比를 구하여 다음과 같은 값을 얻었다.

$$r_1 = 1.17 \quad r_2 = 0.39$$

또한 Alfrey-Price 식을 利用하여 HEMA의  $Q$  및  $e$  값을 계산하여 각각 0.814, 1.071의 값을 얻었다. 重合體의 單量體의 평균사열길이를 통계적으로 계산한 결과 두 단량체의 농도가 같을 때는 HEMA의 平均길이는 2.1이고 HEMAA는 1.5이었다.

Copolymerization of 2-Hydroxyethyl methacrylate and  
N-(2-hydroxyethyl) methacryl amide

Jeong, Hanmo · Yoon, Koosik

Dept. of Chemistry

(Received December 30, 1981)

〈Abstract〉

The monomer reactivity ratios determined at 60.1°C for the free radical copolymerization of 2-hydroxyethyl methacrylate (HEMA) and N-(2-hydroxyethyl)methacryl amide(HEMAA) are:

$$r_1 = 1.17 \quad r_2 = 0.39$$

The values of Alfrey-Price's  $Q$  and  $e$  of HEMAA were found to be 0.814 and 1.071, respectively. By the statistical analysis for the monomer sequence in polymer, the mean sequence length of HEMA is 2.1 when the mole fraction of each monomer is 0.5, but for the HEMAA is 1.5.

I. 序 論

Poly(2-hydroxyethyl methacrylate)(PHEMA)는 醫用高分子材料로서 人工腎臟用透析膜, 人工角膜 등에 使用 가능성이 크기 때문에 많은 研究가 되어 왔다.<sup>1,2,3)</sup> Ratner 와 Miller<sup>3)</sup>는 PHEMA의 膜에서 高分子와 尿素사이에 강한 친화력에 의해서 尿素의 투과성이 높다는 것을 보고하였고 Lee<sup>4)</sup>와 그의 共동연구자들은 PHEMA 막의 가교도가 1.6%보다 크

면 尿素가 다른 아미드분자보다 透過성이 높다는 것을 탈표하였다. Koo 및 Jhon<sup>5)</sup>은 HEMA와 N-vinyl-2-pyrrolidone과의 共重合體膜에 對한 아미드分子의 透過性에 對하여 보고하였다.

본연구에서는 HEMA와 HEMA의 에스테르기를 아미드기로 바꾼 N-(2-hydroxyethyl)methacryl amide (HEMAA)를 共重合시켜 反應性比와  $Q$  및  $e$  값을 구하고 重合體內의 單量體 서열의 分布를 구하였다.

## II. 實驗

### 1. 試藥 및 機器

HEMA는 東京化成의 一級試藥을, 메타아크릴산은 工業用을 使用하였다. 또한 thionyl chloride는 林純藥工業社의 一級試藥을, 에탄올아민은 片山化學의 一級試藥을 使用하였다.

赤外線分光分析機는 Perkin-Elmer Model 710B를 使用하였다.

### 2. Methacryloyl Chloride의 合成

메타아크릴산 137.9g(1.60mol)에 thionyl chloride 192.3g(1.62mol)을 加하여 常溫에서 10시간 정도 反應시켰다. 이 反應物을 簡単증류하여 methacryloyl chloride를 얻었다.

bp98.5°C, 수율 : 95.9g(57%)

### 3. HEMAA의 合成

에탄올아민 51.05g(0.84mol)을 동근플라스크에

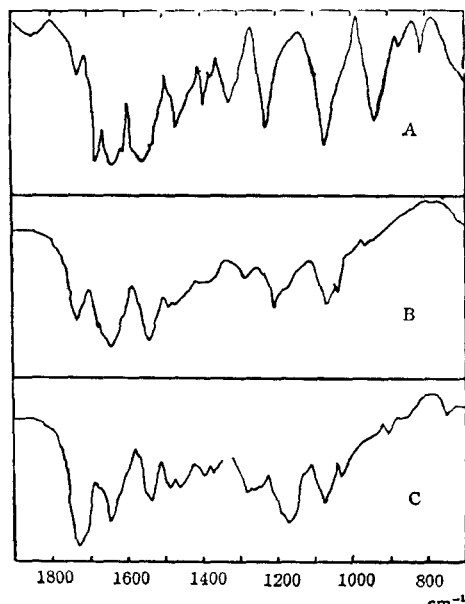


Fig.1 IR spectra of A, N-(2-hydroxyethyl)methacryl amide, B, poly(N-(2-hydroxyethyl)methacryl amide) and C, copolymer of 2-hydroxyethyl methacrylate and N-(2-hydroxyethyl)methacryl amide.

넣고 무수에테르 100ml를 가한다음 열음으로 冷却시키면서 methacryloyl chloride 47.1g(0.45mol)을 한방울씩 가해 주었다.

反應生成物 속에 存在하는 아민化合物를沈殿시키기 위하여 전즈 염화수소가스를 통해 주었다. 生成된沈殿物을 여과하여 제거시키고 다시 溶液을 간접시켜서 에테르를 제거시켰다. 이렇게 하여 얻은 生成物에 雖然 금지체로서 히드로퀴논을 소량 넣고 간접하에서 증류하여 HEMAA를 얻었다.

bp 144.5°C/7mmHg 수율 49.3g(methacryloyl chloride를 기준하여 84%).

이 化合物의 赤外線스펙트럼을 Fig.1-A에 나타내었다. 1680cm⁻¹부근에서 N-H의 변각진동<sup>6)</sup>의 띠가 나타났으며 950cm⁻¹부근에서 —C=C—이 중결합의 C—H변각진동<sup>7)</sup>의 띠가 나타났다. 또한 820cm⁻¹부근에서도 —CH=CH—COOR의 C—H의 변각진동<sup>7)</sup>의 띠가 나타났다.

### 4. 共重合

HEMA와 HEMAA의 多量비율의 混合溶液속에 파산화벤조일을 약 0.04g을 넣고 여기에 에탄올을 15ml 씩 넣고 간접시킨 다음 질소를 충진시킨후 60.1°C에서 重合시켰다. 2~5%정도 重合되었을 때 重合을 정지시키고 반응용기속의 전용액을 파랑의 아세톤속에 부어서 沈殿된 重合體를 여과한다음 아세톤으로 여러번 씻고 오산화인의 存在하에서 전조시켰다.

여기서 얻은 poly(N-(2-hydroxyethyl)methacryl amide) (PHEMAA)의 赤外線스펙트를 Fig.1의 B와 C에 각각 나타내었다. C=C二重結合의 변각진동띠인 950cm⁻¹와 820cm⁻¹부근의 띠가 사라진 것을 알 수 있었다. 또한 共重合體의 赤外線스펙트에서 에스테르의 —O—結合의 신축진동띠가 1170cm⁻¹<sup>8)</sup>에 나타났었으나 PHEMAA에서는 나타나지 않았다.

### 5. 共重合體의 성분분석

共重合체 속의 HEMMA의 함량을 Kjeldahl의 硫素分析法<sup>10)</sup>을 利用하였다.

## III. 結果 및 考察

### 1. HEMA와 HEMAA의 共重合

HEMA( $M_1$ )와 HEMAA( $M_2$ )의 單量體조성과

Table 1. Copolymerization of HEMA ( $M_1$ ) and HEMAA ( $M_2$ )

Exp. No.	1	2	3	4	5
$M_1(g)$	11.415	7.989	6.111	5.586	4.652
$M_2(g)$	1.847	3.322	4.695	7.998	9.314
$f_1$	0.860	0.705	0.564	0.410	0.331
$F_1$	0.885	0.786	0.653	0.530	0.477

重合體속의 成分을 Table. 1에 나타내었다.

단량체속의 HEMA 의 몰분율  $f_1$  과 이때 생긴 重合體속의 HEMA 의 몰분율  $F_1$ 과의 관계를 Fig. 2에 나타내었다.

단량체의 비를 1:1로 했을때 생기는 重合體속에는 HEMA 가 62몰%가 함유되어 있는 것을 알수 있으며 HEMA 가 50몰% 함유되어 있는 重合體를 얻기 위해서는 反應物中에 HEMA 의 몰분율이 일정하게 0.35가 되어야 한다.

單量體의 反應性比는 Mayo 와 Lewis 에 의한 교차방법<sup>11)</sup> (Fig. 3)과 Finemann-Ross식의 圖示에 의한 方法<sup>12)</sup> (Fig. 4)에 의해서  $r_1=1.17$ ,  $r_2=0.39$ 의 값을 얻었다.

이러한 값은 HEMA 로 끝나는 重合體의 라디칼에 HEMAA 의 單量體가 부가하는 速度보다 HEMA 가 부가하는 속도가 1.17배나 크며 HEMAA로 끝나는 라디칼에 부가하는 속도는 2.56배나 크다는 것

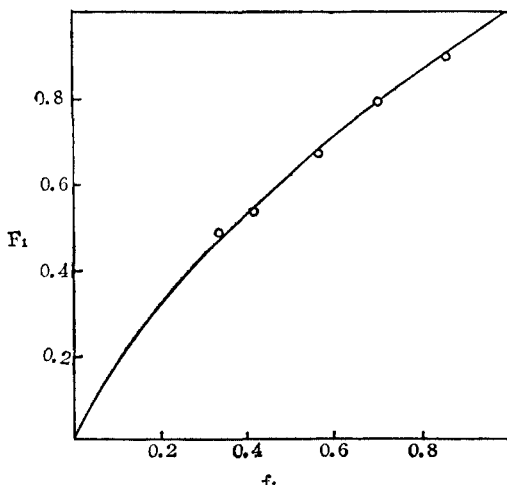


Fig. 2 Incremental copolymer composition(mole fraction of HEMA,  $F_1$ ) plotted against the monomer feed composition (mole fraction of HEMA,  $f_1$ ).

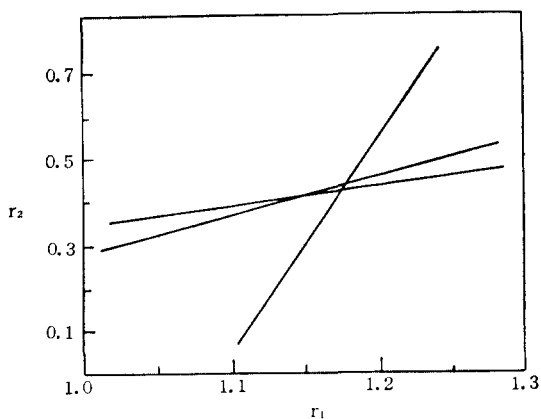


Fig. 3 Intersect plot for copolymerization of HEMA and HEMAA.

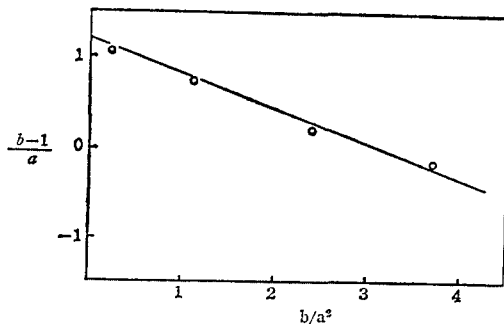


Fig. 4 Fineman-Ross plot for copolymerization of HEMA and HEMAA.  $a=[M_1]/[M_2]$  in monomer feed,  $b=d[M_1]/d[M_2]$  in polymer.

을 보여 준다. 이것은 生成된 重合體속에 HEMAA 보다 HEMA 가 더 연속적으로 부가될 가능성성이 크다는 것을 알 수 있다.

HEMA에 대한 Alfrey-Price<sup>13)</sup>의  $Q$  및  $e$  값을 각각 0.800과 0.200<sup>14)</sup>으로 취하고 HEMAA의  $Q, e$  값을 계산하여  $Q=0.814$ ,  $e=1.071$ 의 값을 얻었다.  $Q$  값이 HEMA의 값과 비슷하므로 비슷한 공명안정화 값을 갖는다는 것을 알 수 있었고 극성을 나타내는  $e$  값은 HEMA 보다 큰값을 갖는다.

## 2. HEMA 와 HEMAA의 共重合體내에서의 單量體의 서열 및 분포

HEMA 와 HEMAA의 共重合體 내에서의 서열의 平均길이  $\bar{n}$ 를 Miller, Nielson<sup>15)</sup>식을 利用하여

Fig.5과 같이 Fig.5와 같다. HEMA의 물분율이 0.5일 때 고합체속에 들어있는 HEMA의 평균 길이는 2.1이며 그에 HEMAA는 1.5이다. 또한 HEMA가 평균길이가 3인 고합체를 얻기 위해서는 HEMA의 물분율이 0.62일 때나 HEMA의 경우는 0.85가 되어야 한다.

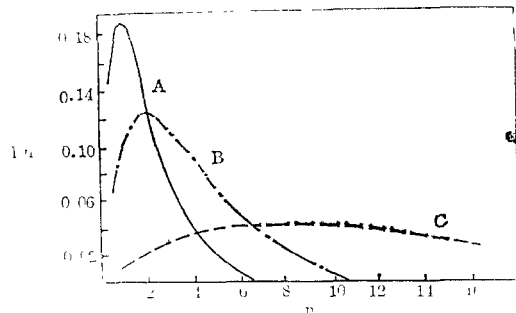


Fig.5 Fraction of copolymer existing in  $n$ -long blocks of HEMA. A.  $f_1=0.331$   
B.  $f_1=0.564$  C.  $f_1=0.860$ .

Sakaguchi-Berger<sup>16,17</sup>에 의하여 HEMA가 고합체속에서  $n$ 개의 단위으로 존재하는 고합체의 분率  $F_n$ 과  $n$ 에 대한 같은 단량체의 물분율이 0.86, 0.564, 0.331일 때의 값을 Fig.6에 나타내었다.

HEMA의 물분율이 0.331일 때는  $n$ 의 값이 1에서 고호중규체를 형성할 확률이 큰것을 알 수 있고 물분율이 0.564일 경우는  $n$ 의 값이 2이며 0.860일 때는  $n$ 이 7~9로 존재한 확률이 크다. 즉 그 고합체

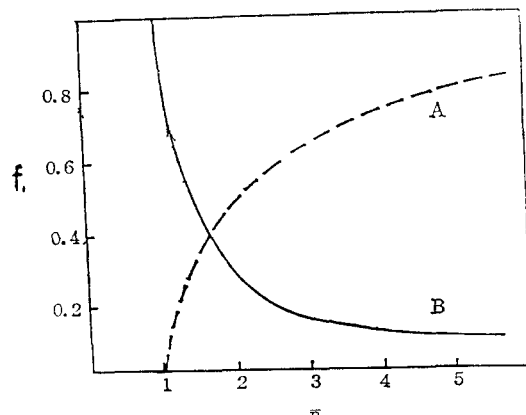


Fig.6 Dependence of mean lengths of the sequences of A, HEMA and B, HEMAA on mole fraction of HEMA in feed.

속의 HEMA의 물분율이 물수록 HEMA의 평균 길이가 차가지며 넓은 분포를 나타낸다.

## II. 結論

HEMA와 HFMAA의 反應比를  $60:1^{\circ}\text{C}$ 에서 고합체속에서 일은結果  $r_1=1.17$ ,  $r_2=0.39$ 의 결과 있고 HEMA가 HEMAA보다 좀더 끊은 반응률을 갖고 있다는 것을 알 수 있었다. 또한 HEMAA에 대한 Q 및 e의 값을 각각  $0.814$  및  $1.071\text{cm}^{-1}$ 은 일었다. HEMA의 물분율이 커질수록 중합기 속의 HEMA의 평균기연길이가 커져서 더 넓은 분포를 나타내며 물분율이 0.33일 때는 고호중규체를 형성할 확률이 크다는 것을 알 수 있었다.

## 참고문헌

- J.D. Andrade, Ed., "Hydrogels for Medical and Related Applications," ACS Symp. Ser. No.31, American Chemical Society, Washington, D.C., 1976.
- O. Wichterle, in Encyclopedia of Polymer Science and Technology, H.F. Mark and N.G. Gaylord, Eds., Wiley, New York, 1973, Vol.15, p.375.
- Buday D. Ratner and Irving F. Müller, J. Biomed. Mater. Res., 7, 353(1973).
- K.H. Lee, J.G. Jee, M.S. Jhon and T. Ree, J. Bioengineering, 2, 269(1978).
- H.S. Koo and M.S. Jhon, Bulletin of Korean Chemical Society, 1, 138(1980).
- L.J. Bellamy, "The Infrared Spectra of Complex Molecules," John Wiley and Sons, Inc., N.Y. 1975, p.239.
- Idem, ibid, p.57.
- Idem, ibid, p.217.
- Idem, ibid, p.56.
- I.M. Kolthoff and E.B. Sandell, "Quantitative Chemical Analysis", Forth Ed., The Macmillan Company, London, 1969, p.791.
- F.R. Mayo and F.M. Lewis, J. Amer. Chem. Soc., 66, 1544 (1944).
- M. Fineman and S.D. Ross, J. Polym. Sci.,

- 5, 269(1950).
13. T. Altrey, Jr. and C.C. Price, J. Polym. Sci., 2, 101 (1947).
14. J. Brandrup and E.H. Immergut, "Polymer Handbook", Second Ed., John Wiley and Sons, Inc., New York, 1975 p. II-401.
15. R.L. Miller and L.E. Nelson, J. Polym. Sci., 46, 303(1960).
16. Y. Sakaguchi, Kobunshi Kagaku, 17, 333 (1960).
17. M. Berger, J. Polym. Sci., A1, 1691(1963).